

# Computergraphik II

Winter 2011/2012

## 10 Mehrgliedrige Modelle (Skelette)

Versionsdatum: 6. Dezember 2011



## 10 Mehrgliedrige Modelle (Skelette) ...

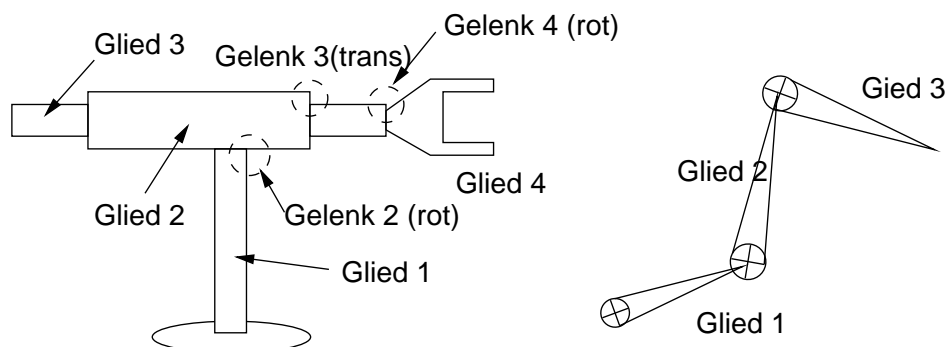


**Ziel:** Animation von Charakteren, d.h. zunächst von Skeletten

**Bezeichnung:**

**Skelette:** Hierarchie starrer Glieder (Links), die mit Gleit- oder Rotationsgelenken verbunden sind (Baumstruktur).

**Endeffektor:** Freie Enden des Skelettes (Blattknoten)



Beispiele: Robotik (Rotations- und Gleitgelenke) und Animation (nur Rotationsgelenke).



## 10.1 Mehrgliedrige Modelle in 2D



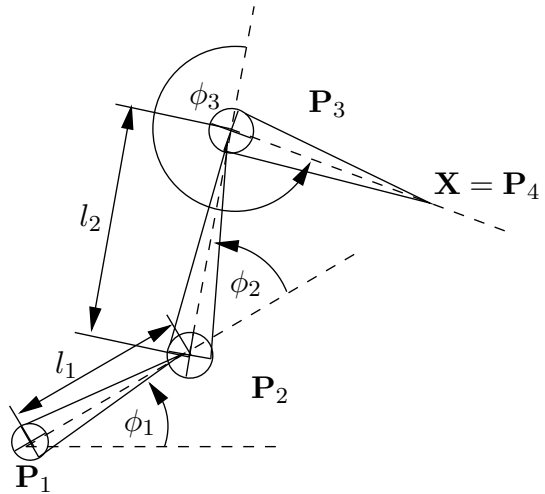
### Beschreibung von Skeletten (2D)

- Ausgangslage:** 1.  $n$ -gliedriges Skelett mit fixen Längen  $l_1, \dots, l_n$
2. Drehpunkt  $P_i$ : Anfangspunkt von Glied  $i$
  3. Endeffektor  $X = P_{n+1}$ : Endpunkt des Skeletts

**Freiheitsgrade:**  $n + 2$  Stück:

- Drehpunkt  $P_1$  des ersten Glieds
- Winkel  $\phi_i$  zum Vorgänger ( $n > 1$ ) bzw. Orientierung des ersten Glieds ( $n = 1$ )

**Zustandsvektor:** Beschreibt alle freien Winkel  $\vec{\phi} = (\phi_1, \dots, \phi_n)$  2D-Skelett ohne Verzweigung



## 10.1 Mehrgliedrige Modelle in 2D ...



### Beschreibung von Skeletten (2D)

Sukzessive Ermittlung der  $P_{i+1}$  bei gegebenem  $P_1$ :

$$i = 1 : \quad P_2 = T_{1 \rightarrow 2}(P_1) = P_1 + l_1 \begin{pmatrix} \cos \phi_1 \\ \sin \phi_1 \end{pmatrix}$$

$$i = 2 : \quad P_3 = T_{2 \rightarrow 3}(P_2) = P_2 + l_2 \begin{pmatrix} \cos(\phi_1 + \phi_2) \\ \sin(\phi_1 + \phi_2) \end{pmatrix}$$

$$\text{allgemein:} \quad P_{i+1} = T_{i \rightarrow i+1}(P_i) = P_i + l_i \begin{pmatrix} \cos(\phi_1 + \dots + \phi_i) \\ \sin(\phi_1 + \dots + \phi_i) \end{pmatrix}$$

### Definition: Arten von Kinematik

**Vorwärtskinematik:** Variation der Freiheitsgrade zur Bewegung des Endeffektors  $X$

$$X = f(\vec{\phi})$$

**Inverse Kinematik:** Direkte Bewegung des Endeffektors und Ermittlung der Freiheitsgrade:

$$\vec{\phi} = f^{-1}(X)$$



## 10.1.1 Hierarchische Animation



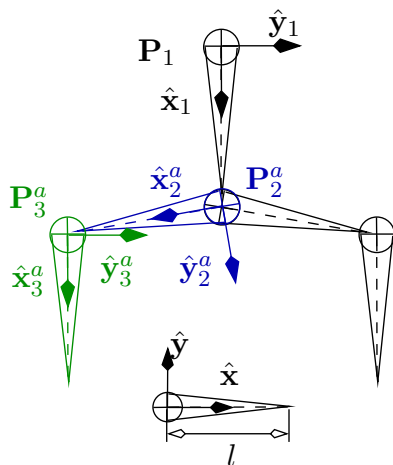
### Hierarchische Koordinatensysteme

**Ziel:** Korrekte Ausrichtung von Objekten bzgl. eines Gliedes

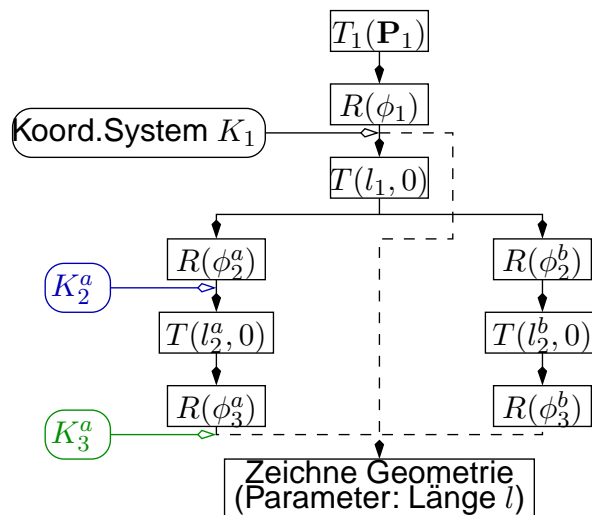
**Beobachtung:** Skelett beschreibt Hierarchie von Koordinatensystemen

$$K_i = \{P_i, \hat{x}_i, \hat{y}_i\}$$

**Transformation**  $T_{i \rightarrow i+1} = T(l_i, 0) \cdot R(\phi_{i+1})$



Glied-Geometrie



## 10.1.1 Hierarchische Animation ...



### Hierarchische Animation

#### Hierarchische Modelle:

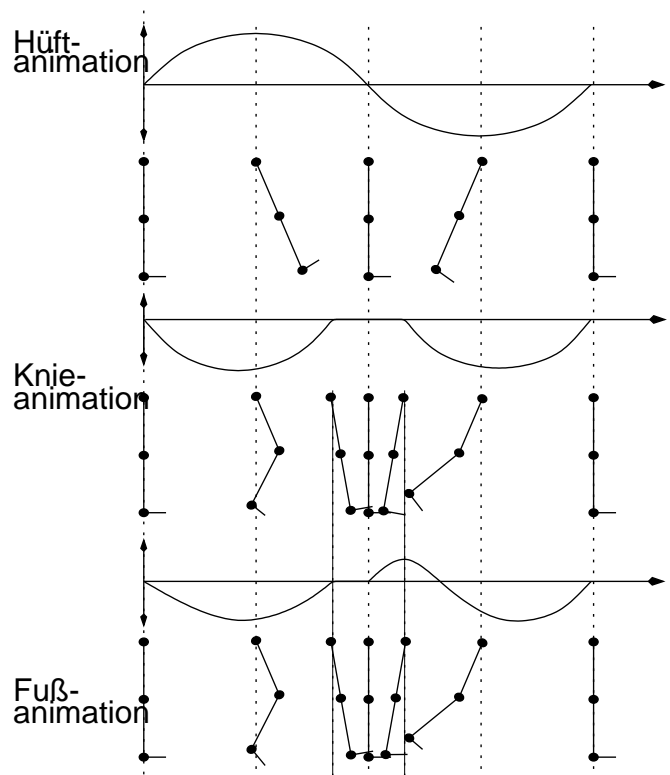
Hierarchische top-down Animation

#### Beispiel Bein:

1. Hüfte-Animation
2. Knie-Animation
3. Fuß-Animation

#### Probleme bei obigem Beispiel

- Vermeidung von horizontalem *sliding*
- Vermeidung von vertikalem *Eintauchen*



## 10.1.2 Vorwärtskinematik



**Wesentliche Aspekte:** ○ Rotationen werden über Hierarchie vererbt

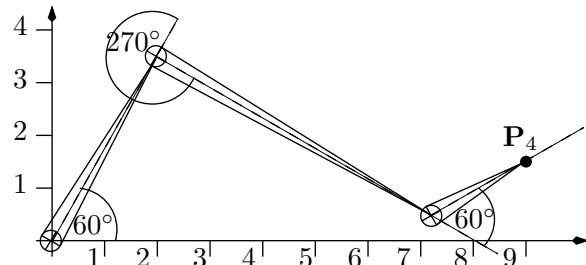
- Animation erfolgt über Veränderung der Winkel über die Zeit  $\phi_i(t)$
- low-level-Form der Animation, die bei großen Strukturen schnell unübersichtlich wird

**Beispiel mit 3 Glieder:**

$$\phi_1 = 60^\circ \quad \phi_2 = 270^\circ \quad \phi_3 = 60^\circ$$

$$l_1 = 4 \quad l_2 = 6 \quad l_3 = 2$$

$$P_1 = (0, 0)$$



$$P_2 = P_1 + l_1 \begin{pmatrix} \cos \phi_1 \\ \sin \phi_1 \end{pmatrix} = \begin{pmatrix} 0 \\ 0 \end{pmatrix} + 4 \cdot \begin{pmatrix} \cos 60^\circ \\ \sin 60^\circ \end{pmatrix} = \begin{pmatrix} 2 \\ 2\sqrt{3} \end{pmatrix}$$

$$P_3 = P_2 + l_2 \begin{pmatrix} \cos(\phi_1 + \phi_2) \\ \sin(\phi_1 + \phi_2) \end{pmatrix} = \begin{pmatrix} 2 \\ 2\sqrt{3} \end{pmatrix} + 6 \cdot \begin{pmatrix} \cos 330^\circ \\ \sin 330^\circ \end{pmatrix} = \begin{pmatrix} 2 + 3\sqrt{3} \\ 2\sqrt{3} - 3 \end{pmatrix}$$

$$P_4 = P_3 + l_3 \begin{pmatrix} \cos(\phi_1 + \phi_2 + \phi_3) \\ \sin(\phi_1 + \phi_2 + \phi_3) \end{pmatrix} = \begin{pmatrix} 2 + 3\sqrt{3} \\ 2\sqrt{3} - 3 \end{pmatrix} + 2 \cdot \begin{pmatrix} \cos 30^\circ \\ \sin 30^\circ \end{pmatrix} = \begin{pmatrix} 2 + 4\sqrt{3} \\ 2\sqrt{3} - 2 \end{pmatrix}$$

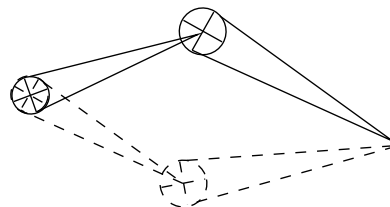


## 10.1.3 Inverse Kinematik



### Probleme der Inverse Kinematik

1.  $f^{-1}$  i.a. nicht analytisch ermittelbar  $\Rightarrow$  numerische Lösung der Inversen Kinematik
2. Inverse Kinematik i.a. nicht eindeutig lösbar:



3. Automatismus der inverse Kinematik erschwert Modellierung typischer Bewegungsformen (Hincken etc.)

### Bezeichnung:

**Unterbestimmtes System:** „Anzahl Freiheitsgrade“ > „Anzahl Bedingungen“

**Erreichbarer Arbeitsbereich:** Menge der durch Endeffektor erreichbaren Positionen



## 10.1.3 Inverse Kinematik ...



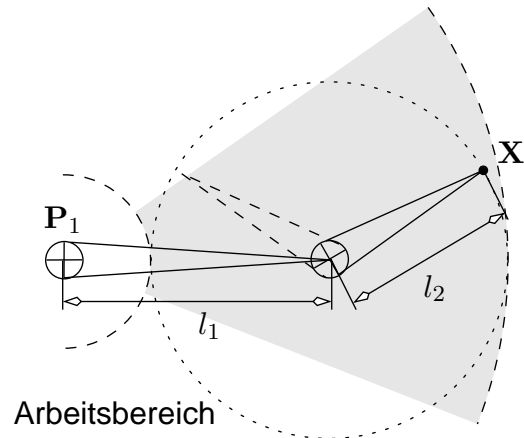
### Beispiel: Analytische Lösung der Inversen Kinematik

Gegeben: Zweigliedriges Modell

- Positionen  $\mathbf{P}_1 = \begin{pmatrix} x_1 \\ y_1 \end{pmatrix}$
- Endeffektor  $\mathbf{X} \begin{pmatrix} x \\ y \end{pmatrix}$
- Längen  $l_1, l_2$

Erreichbarer Arbeitsbereich:

$$\{\mathbf{Q} : \|\mathbf{Q} - \mathbf{P}_1\| \in [l_1 - l_2, l_1 + l_2]\}$$



Analytische Lösung der inversen Kinematik:

$$\phi_2 = \cos^{-1} \left( \frac{(x - x_1)^2 + (y - y_1)^2 - l_1^2 - l_2^2}{2l_1l_2} \right)$$

$$\phi_1 = \tan^{-1} \left( \frac{(y - y_1)(l_1 + l_2 \cos \phi_2) - (x - x_1)l_2 \sin \phi_2}{(x - x_1)(l_1 + l_2 \cos \phi_2) + (y - y_1)l_2 \sin \phi_2} \right)$$



## 10.1.3 Inverse Kinematik ...



### Herleitung der analytischen Lösung

Mit  $\Delta x = x - x_1$ ,  $\Delta y = y - y_1$ ,  $s_i = \sin \phi_i$ ,  $c_i = \cos \phi_i$ ,  $s_{1+2} = \sin(\phi_1 + \phi_2)$ ,  $c_{1+2} = \cos(\phi_1 + \phi_2)$

Aus der Vorwärtsdarstellung folgt

$$\begin{aligned} \begin{pmatrix} \Delta x \\ \Delta y \end{pmatrix} &= \begin{pmatrix} l_1 c_1 + l_2 c_{1+2} \\ l_1 s_1 + l_2 s_{1+2} \end{pmatrix} \\ \Rightarrow \Delta x^2 + \Delta y^2 &= l_1^2 \underbrace{(c_1^2 + s_1^2)}_{=1} + l_2^2 \underbrace{(c_{1+2}^2 + s_{1+2}^2)}_{=1} + 2l_1l_2 \underbrace{(c_1 c_{1+2} + s_1 s_{1+2})}_{=\cos(\phi_1 + \phi_2 - \phi_1) = \cos \phi_2} \\ &= l_1^2 + l_2^2 + 2l_1l_2 \cos \phi_2 \Rightarrow \phi_2 = \arccos \left( \frac{\Delta x^2 + \Delta y^2 - l_1^2 - l_2^2}{2l_1l_2} \right) \end{aligned}$$

und für  $\phi_1$  mit  $t_i = \tan(\phi_i)$ : 
$$\begin{pmatrix} \Delta x \\ \Delta y \end{pmatrix} = \begin{pmatrix} l_1 c_1 + l_2 (c_1 c_2 - s_1 s_2) \\ l_1 s_1 + l_2 (s_1 c_2 + c_1 s_2) \end{pmatrix}$$

$$\Rightarrow \Delta x (l_1 s_1 + l_2 (s_1 c_2 + c_1 s_2)) = \Delta y (l_1 c_1 + l_2 (c_1 c_2 - s_1 s_2)) \quad | : \cos(\phi_1)$$

$$\Rightarrow \Delta x (l_1 t_1 + l_2 (t_1 c_2 + s_2)) = \Delta y (l_1 + l_2 (c_2 - t_1 s_2))$$

$$\Leftrightarrow t_1 (\Delta x (l_1 + l_2 c_2) + \Delta y l_2 s_2) = (\Delta y (l_1 + l_2 c_2) - \Delta x l_2 s_2)$$



### 10.1.3 Inverse Kinematik ...



#### Beispiel: Zahlenbeispiel zur expliziten Lösung

Gegeben:  $P_1 = (0, 0)$ ,  $X = (10, 0)$ ,  $l_1 = l_2 = 10$

Berechnung von  $\phi_2$ :

$$\phi_2 = \cos^{-1} \left( \frac{(x-x_1)^2 + (y-y_1)^2 - l_1^2 - l_2^2}{2l_1l_2} \right) = \cos^{-1} \left( \frac{-10^2}{2 \cdot 10^2} \right) \in \{-120^\circ, 120^\circ\}$$

Berechnung von  $\phi_1$ :

$$\text{Allg.: } \phi_1 = \tan^{-1} \left( \frac{(y-y_1)(l_1 + l_2 \cos \phi_2) - (x-x_1)l_2 \sin \phi_2}{(x-x_1)(l_1 + l_2 \cos \phi_2) + (y-y_1)l_2 \sin \phi_2} \right)$$

Für  $\phi_2 = 120^\circ$ :

$$\phi_1 = \tan^{-1} \left( \frac{0-10 \cdot 10 \sin(120^\circ)}{10(10+10 \cos(120^\circ))+0} \right) = \tan^{-1}(-\sqrt{3}) \Rightarrow \phi_1 \in \{-60^\circ, 120^\circ\}$$

Für  $\phi_2 = -120^\circ$ :

$$\phi_1 = \tan^{-1} \left( \frac{0-10 \cdot 10 \sin(-120^\circ)}{10(10+10 \cos(-120^\circ))+0} \right) = \tan^{-1}(\sqrt{3}) \Rightarrow \phi_1 \in \{-120^\circ, 60^\circ\}$$



### 10.1.4 Numerische Lösung der Inversen Kinematik



Probleme: Im allgemeinen

1. kann IK-Lösung nicht analytisch bestimmt werden  $\rightarrow$  Numerik
2. gibt es keine, eine oder unendliche viele Lösungen

Ausgangslage:  $\vec{\phi}^{alt}$ ,  $X^{alt}$  als VK-Lösung, also  $f(\vec{\phi}^{alt}) = X^{alt}$ , zudem gegeben ist  $X^{neu}$

Gesucht:  $\vec{\phi}^{neu}$ , so dass  $f(\vec{\phi}^{neu}) = X^{neu}$ , also Nullst. von  $g(\vec{\phi}) := f(\vec{\phi}) - X^{neu}$

Erinnerung: Eindimensionales Newton-Verfahren

Initial:  $\phi^0 = \phi^{alt}$

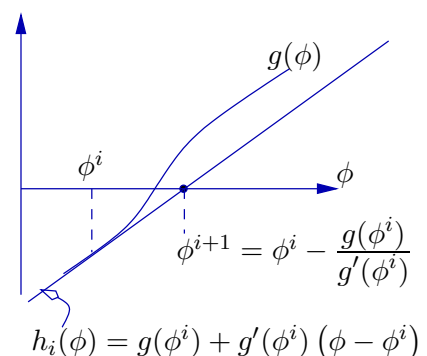
Iteration:  $\phi^{i+1} = \text{Nullst. der Tangente an } g \text{ in } \phi^i$

Tangente:  $h_i(\phi) = g(\phi^i) + g'(\phi^i)(\phi - \phi^i)$

Nullstelle:  $\phi^{i+1} = \phi^i - \frac{g(\phi^i)}{g'(\phi^i)} = \phi^i - \frac{f(\phi^i) - X^{neu}}{f'(\phi^i)}$

Ableitung:  $f'(\phi^i) \approx \frac{f(\phi^i + \Delta) - f(\phi^i)}{\Delta}$

$g(\phi) = f(\phi) - X^{neu}$





## Allgemeine Inverse Kinematik

In der Animation ein iteratives Problem:

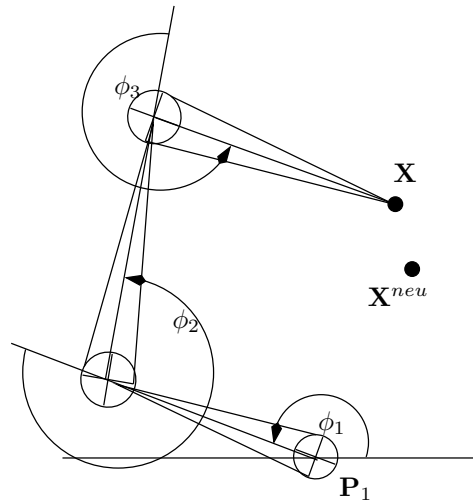
**Bekannt:**  $\vec{\phi}^{alt}, \mathbf{X}^{alt} = f(\vec{\phi}^{alt}), \mathbf{X}^{neu}$ , sowie fixer Startpunkt  $P_1$

**Gesucht:**  $\vec{\phi}^{neu}$  mit  $\mathbf{X}^{neu} = f(\vec{\phi}^{neu})$

$$\Leftrightarrow g(\vec{\phi}^{neu}) := f(\vec{\phi}^{neu}) - \mathbf{X}^{neu} = 0 \text{ mit}$$

$$\|\vec{\phi}^{neu} - \vec{\phi}^{alt}\| = \min\{\|\vec{\phi} - \vec{\phi}^{alt}\| \mid g(\vec{\phi}) = 0\}$$

**Beachte:**  $f$  und  $g$  sind Funktionen mit  $n$  Variablen und  $m$  ( $m = 2, 3$ ) Komponenten, wobei meist  $n \geq m$



$$f : \mathbb{R}^n \mapsto \mathbb{R}^m, \quad f(\vec{\phi}) = f(\phi_1, \dots, \phi_n) = \begin{pmatrix} f_1(\phi_1, \dots, \phi_n) \\ \vdots \\ f_m(\phi_1, \dots, \phi_n) \end{pmatrix}$$



## Mehrdimensionales Newton-Verfahren (Fall $n = m > 1$ )

**Vorgehen** analog wie im eindimensionalen Fall

**Anpassungen:**  $\vec{\phi}, \mathbf{X}$  ist mehrdimensionaler Vektor bzw. Punkt

Funktion:  $f : \mathbb{R}^n \mapsto \mathbb{R}^n$

Ableitung:  $D_f$  *Jakobi-Matrix* ersetzt  $f'$  :  $D_f(\vec{\phi}) = \begin{pmatrix} \frac{\partial f_1}{\partial \phi_1} & \dots & \frac{\partial f_1}{\partial \phi_n} \\ \vdots & \ddots & \vdots \\ \frac{\partial f_n}{\partial \phi_1} & \dots & \frac{\partial f_n}{\partial \phi_n} \end{pmatrix} \in \mathbb{R}^{n \times n}$

**Newton-Iteration:**  $\vec{\phi}^{i+1}$  ist Nullstelle der linearen Funktion an  $g$  in  $\vec{\phi}^i$

Lin. Funkt.:  $h_i(\vec{\phi}) = g(\vec{\phi}^i) + D_g(\vec{\phi}^i)(\vec{\phi} - \vec{\phi}^i), \quad D_g = D_f$

Nullstelle:  $\vec{\phi}^{i+1} = \vec{\phi}^i - \left(D_g(\vec{\phi}^i)\right)^{-1} g(\vec{\phi}^i) = \vec{\phi}^i - \left(D_f(\vec{\phi}^i)\right)^{-1} \left(f(\vec{\phi}^i) - \mathbf{X}^{neu}\right)$

falls  $\left(D_f(\vec{\phi}^i)\right)^{-1}$  existiert





### Mehrdimensionales Newton-Verfahren (Fall $n > m$ )

**Problem:** Jakobi-Matrix nicht mehr quadratisch, d.h.

$$g(\phi^i) + D_g(\vec{\phi}^i)(\vec{\phi} - \vec{\phi}^i) = 0 \Leftrightarrow D_g(\vec{\phi}^i)(\vec{\phi} - \vec{\phi}^i) = -g(\phi^i) \quad (1)$$

hat 0, 1 oder  $\infty$  viele Lösungen.

**Pseudo-Inverse:** Hat  $D_f$  vollen Rang, dann kann die *Pseudo-Inverse* bestimmt werden:

$$(D_f)^+ = D_f^T \cdot (D_f D_f^T)^{-1}, \quad D_f D_f^T \in \mathbb{R}^{m \times m} \text{ invertierbar}$$

Die Pseudo-Inverse liefert *eine Lösung* von Gleichung (1):

$$\vec{\phi}^{i+1} - \vec{\phi}^i = -(D_f)^+ g(\phi^i) \text{ wobei } \left\| (\vec{\phi}^{i+1} - \vec{\phi}^i) \right\| \text{ minimal unter allen Lösungen}$$

**Interpretation:**  $\left\| (\vec{\phi}^{i+1} - \vec{\phi}^i) \right\|$  ergibt minimale Abweichung der neuen Winkel zu den alten Winkeln



### Beispiel für Inverse Kinematik

**Initial:**  $\mathbf{P}_1 = (50, 400)$ ,  $l_1 = 150$ ,  $l_2 = 200$ ,  $l_3 = 100$ ,

$$\vec{\phi}^{alt} = \vec{\phi}_0 = (0.6, 1.0, -0.7), \quad \mathbf{X}^{alt} = (230, 763), \quad \mathbf{X}^{neu} = (350, 700)$$

**1. Newton-Schritt:**

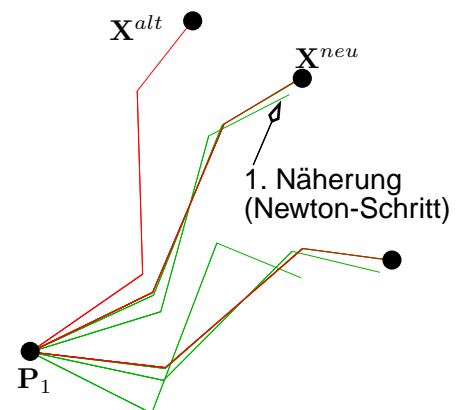
$$\frac{\partial f}{\partial \phi_1} = \begin{pmatrix} -363 \\ 180 \end{pmatrix}, \quad \frac{\partial f}{\partial \phi_2} = \begin{pmatrix} -278 \\ 56 \end{pmatrix}, \quad \frac{\partial f}{\partial \phi_3} = \begin{pmatrix} -78 \\ 62 \end{pmatrix}$$

$$\Rightarrow D_f = \begin{pmatrix} -363 & -278 & -78 \\ 180 & 56 & 62 \end{pmatrix}$$

$$\text{und } D_f^+ = \begin{pmatrix} 0.001025 & 0.006793 \\ -0.005497 & -0.010536 \\ 0.002010 & 0.00595 \end{pmatrix}$$

$$\vec{\phi}^1 - \vec{\phi}^0 = -D_f^+ g(\vec{\phi}^0) = -D_f^+ (\mathbf{X}^{alt} - \mathbf{X}^{neu})$$

$$\Rightarrow \vec{\phi}^1 = \begin{pmatrix} 0.6 \\ 1.0 \\ -0.7 \end{pmatrix} - \begin{pmatrix} 0.001025 & 0.006793 \\ -0.005497 & -0.010536 \\ 0.002010 & 0.00595 \end{pmatrix} \begin{pmatrix} -120 \\ 63 \end{pmatrix} = \begin{pmatrix} 0.295 \\ 1. \\ -0.833 \end{pmatrix}, \quad f(\phi^1) = \begin{pmatrix} 336.44 \\ 681.27 \end{pmatrix}$$





### Alternative kinematische Ansätze

Nachteile von IK überwiegen für highend-Animationen meist deren Vorteil.

**Motion-Capturing:** Bewegungspfad durch Bewegungserfassung von Charakteren

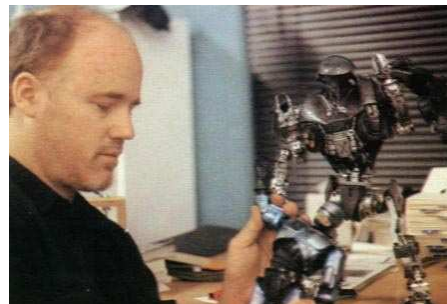
**Stop-Motion-Animation:** ○ Klassisch: Frameweise Bewegungserfassung  
○ Keyframe-weise: Abgreifen der Gelenkwinkel und Keyframe-Animation

**Nachbearbeitung:** Glätten, Überlagern etc. von Bewegungspfaden

**Paralleler Einsatz** von VK und IK



Motion-Capturing



Klassische Stop-Motion-Animation



## 10.2 Mehrgliedrige Modelle in 3D



### Hierarchische Koordinatensysteme in 3D

**Ansatz:** Beschreibung der Glied-Hierarchie wie in 2D

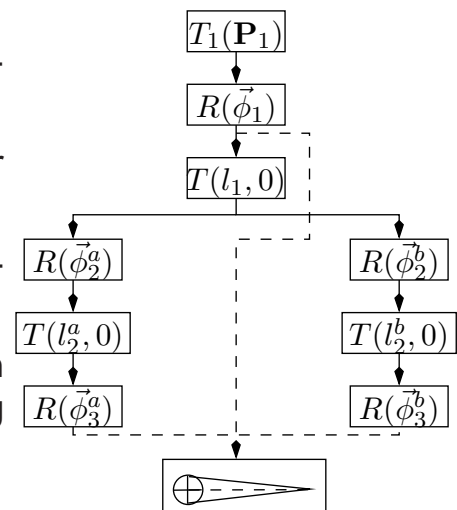
**Transformation**  $T_{i \rightarrow i+1} = T(l_i, 0) \cdot R(\vec{\phi}_{i+1})$

wobei  $R(\vec{\phi}_{i+1}) = R(\phi_{i+1}^x, \phi_{i+1}^y, \phi_{i+1}^z)$  (Rotationsmatrizen mit Eulerwinkeln)

**Vorwärts-Kinematik** kann direkt mit diesem Ansatz verwendet werden

**Inverse Kinematik** erfordert Optimierung der Rotationsparameter:

- Vermeide Mehrdeutigkeiten durch Quaternionen
- Problem: Optimierung von Quaternionen erzwingt Einhaltung der Randbedingung  $\|\underline{q}\| = 1$



## 10.2 Mehrgliedrige Modelle in 3D ...



### Ansatz: Denavit-Hardenberg

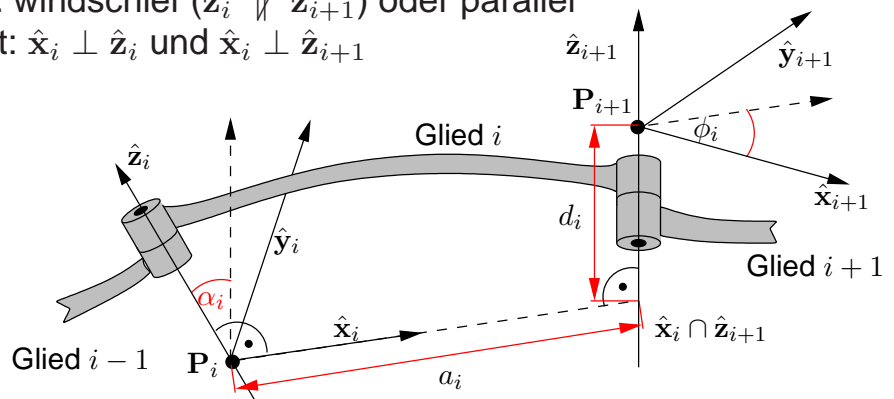
**Alternativer Ansatz** mit einfachen Winkelparametern

**Ausgangslage:** ○  $n$ -gliedriges Skelett ohne Verzweigung

- jedes Glied hat eine Rotationsachse

**Koordinatensysteme** für  $i$ -tes Glied  $K_i = \{\mathbf{P}_i, \hat{\mathbf{x}}_i, \hat{\mathbf{y}}_i, \hat{\mathbf{z}}_i\}$ , wobei

- $\hat{\mathbf{z}}_i$  entspricht der Drehachse
- $\hat{\mathbf{x}}_i$  und  $\mathbf{P}_i$  durch kürzeste Verbindung zwischen  $\hat{\mathbf{z}}_i, \hat{\mathbf{z}}_{i+1}$  festgelegt:
  - existiert immer: windschief ( $\hat{\mathbf{z}}_i \nparallel \hat{\mathbf{z}}_{i+1}$ ) oder parallel
  - automatisch gilt:  $\hat{\mathbf{x}}_i \perp \hat{\mathbf{z}}_i$  und  $\hat{\mathbf{x}}_i \perp \hat{\mathbf{z}}_{i+1}$



## 10.2 Mehrgliedrige Modelle in 3D ...



### Denavit-Hardenberg (Forts.)

#### **Kontrollparameter:**

- $a_i$  Abstand zwischen Achsen  $\hat{\mathbf{z}}_i$  und  $\hat{\mathbf{z}}_{i+1}$
- $\alpha_i$  Winkel zwischen  $\hat{\mathbf{z}}_i$  und  $\hat{\mathbf{z}}_{i+1}$  (beide  $z$ -Achsen  $\perp \hat{\mathbf{x}}_i$ )
- $d_i$  Abstand des Schnittpunktes  $\hat{\mathbf{x}}_i \cap \hat{\mathbf{z}}_{i+1}$  zum Ursprung  $\mathbf{P}_{i+1}$  von  $K_{i+1}$
- $\phi_i$  Winkel zwischen  $\hat{\mathbf{x}}_i, \hat{\mathbf{x}}_{i+1}$  (beide  $\perp \hat{\mathbf{z}}_{i+1}$ )

Mit Startpunkt  $\mathbf{P}_1$ :  $4 \times n + 3$  Freiheitsgrade

**Transformation** von  $K_i$  nach  $K_{i+1}$  in *lokalen Koordinaten*:

$R(x, \alpha_i)$ : Bilde  $\hat{\mathbf{z}}_i$  auf  $\hat{\mathbf{z}}_{i+1}$  ab (aktuelle  $x$ -Achse ist  $\hat{\mathbf{x}}_i$ ).

$T(a_i, 0, d_i)$ : Verschiebe  $\mathbf{P}_i$  nach  $\mathbf{P}_{i+1}$

$R(z, \phi_i)$ : Bilde  $\hat{\mathbf{x}}_i$  auf  $\hat{\mathbf{x}}_{i+1}$  ab.

Kombiniert:

$$\mathbf{Q}^{i+1} = T_{i \rightarrow i+1}(\mathbf{Q}^i), \quad T_{i \rightarrow i+1} = R(x, \alpha_i) \circ T(a_i, 0, d_i) \circ R(z, \phi_i)$$



## 10.3 Soft-Body Animation



**Ziel:** Animation von Körpern inkl. Muskeln und Haut auf Skelett-Basis

**Einfaches Layer-Modell:** Kontrolle des Skeletts mit *Anbindung* an Haut

**Skelett-Ebene:** Unterste Ebene; sie entspricht dem mehrgliedrigen Modell

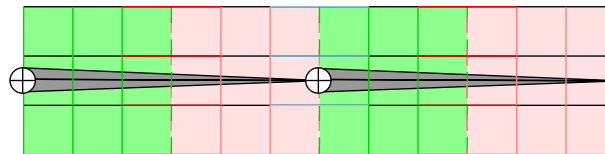
**Haut-Ebene:** Geometrie aus NURBS-Fläche oder anderer Geometrie-Repräsentation

**Muskel-Ebene:** Verbindet Skelett und Haut über FFD's

**Ansatz:** Chadwick '89 (Spezialfall: Arm oder Bein)

**Ausgangslage:** Zwei Glieder, mit Null-Rotation

**Definition der FFD-Volumen:** Jedes Glied wird mit zwei tri-kubischen FFD Bézier-Volumen versehen.



Ausgangslage



## 10.3 Soft-Body Animation ...

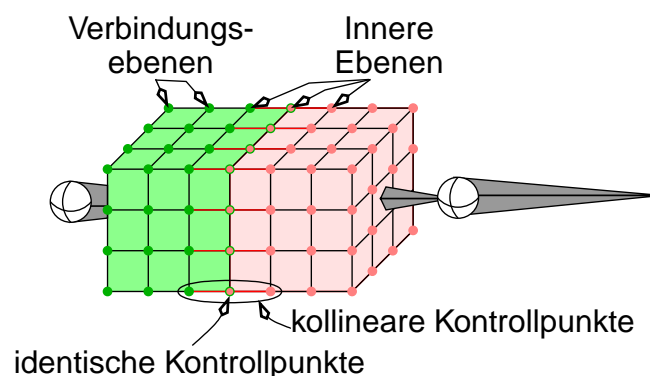


### Chadwick (Forts.)

**Randbedingungen** für  $C^1$ -Übergänge zwischen FFD-Volumen:

1. KPs der Randebenen sind identisch
2. KPs der benachbarten Ebenen liegen kollinear (Teilungsverhältnis 1:1)

**Sieben Kontrollpunktebenen** pro Glied, *drei innere Ebenen*, je zwei *Verbindungs-Ebenen*



### Animation des Layer-Modells

**Beugung des Gelenkes:** Unter Einhaltung der  $C^1$ -Übergänge

1. Skalierung der zwei freien inneren Ebenen: Muskelkontrolle
2. Rotation der zwei freien Verbindungs-Ebenen: Angleichung zwischen Gliedern

**Binding:** Geometrie wird entsprechend ihrer Lage im FFD-Volumen deformiert

**Problem:** Zuordnung nicht immer eindeutig → interaktive Zuordnung Geometrie zu Skelett

